



بررسی پایداری و انشعاب در سیستم تصادفی عصبی $I_{Na,p} + I_K$

مهری فاتحی نیا^{*} ، محمد پناهی

دانشکده علوم ریاضی، دانشگاه یزد، یزد، ایران

چکیده. در این مقاله، پایداری و انشعاب مدل تصادفی $I_{Na,p} + I_K$ از سیستم‌های دینامیکی علوم اعصاب مورد مطالعه قرار می‌گیرد. شرایط بروز انشعاب‌های D و P را در مدل تصادفی مورد نظر بررسی می‌کنیم. با استفاده از چند مورد شبیه‌سازی عددی و رسم خروجی برنامه‌های مرتبط با مدل، درستی نتایج تئوری را راستی آزمایی می‌کنیم.
واژه‌های کلیدی: سیستم‌های دینامیکی تصادفی، مدل هاجکین-هاکسلی، انشعاب سیستم تصادفی، مدل $I_{Na,p} + I_K$.
طبقه‌بندی موضوعی [۲۰۲۰]: ۶۰H10.

۱. مقدمه

در سال‌های اخیر، معادلات دیفرانسیل تصادفی که بر اساس حسابان و آنالیز تصادفی پایه‌گذاری شده مورد توجه روزافرونه قرار گرفته است. همچنین عدم قطعیت نقش مهمی را در بسیاری از فرآیندهای بیولوژی ایفا می‌کند. نادیده گرفتن این مسئله در بررسی پدیده‌های مدل‌سازی شده ممکن است بر تجزیه و تحلیل سیستم‌های موردمطالعه تأثیر بگذارد [۴]. یکی از مدل‌های دینامیکی که در علوم اعصاب از محبوبیت و اهمیت بالایی برخوردار است مدل هاجکین-هاکسلی^۱ است. این مدل در واقع چگونگی ایجاد و گذر پتانسیل عمل را در غشاء یک سلول عصبی نشان می‌دهد. هاجکین و هاکسلی در سال ۱۹۵۲ این مدل دینامیکی را با استفاده از یک دستگاه معادلات دیفرانسیل چهار بعدی نشان دادند. از آنجا که ابزار کارآمدی برای تحلیل دینامیک یک دستگاه معادلات دیفرانسیل چهار بعدی وجود نداشت مدل‌های کاهش‌یافته‌ی دو بعدی متعددی از مدل هاجکین-هاکسلی به وجود آمد. از مشهورترین این مدل‌های دو بعدی می‌توان به مدل $I_{Na,p} + I_K$ اشاره کرد [۱]. در این مقاله مدل تصادفی این سیستم را معرفی کرده و دینامیک آن را مورد بررسی قرار می‌دهیم.
مدل $I_{Na,p} + I_K$ با استفاده از یک دستگاه معادلات دیفرانسیل دو بعدی به صورت زیر نمایش داده می‌شود:

$$(1) \quad \begin{cases} \dot{V} = \frac{1}{C} \left[I - g_L(V - E_L) - g_{Na}(V - E_{Na}) \left(\frac{1}{1+e^{\frac{V_n-V}{k_m}}} \right) - g_K n(V - E_K) \right], \\ \dot{n} = \frac{1}{\tau(V)} \left[\frac{1}{1+e^{\frac{V_n-V}{k_n}}} - n \right], \end{cases}$$

که در آن متغیر V پتانسیل غشاء سلول عصبی و متغیر n میزان فعالیت کانال پتاسیم، متغیرهای دینامیکی اصلی این سیستم هستند. پارامترهای سیستم در جدول ۱ در دو نوع، بر اساس دسته‌بندی هاجکین از نورون‌ها نشان داده شده‌اند.

*سخنران. آدرس ایمیل: fatehiniam@yazd.ac.ir

¹Hodgkin-Huxley

جدول ۱. پارامترهای سیستم

نام	نوع یک	نوع دو
ظرفیت غشاء سلول عصبی	۱	۱
جریان	۰	۰
میزان هدایت کانال نشستی	۸	۸
پتانسیل معکوس کانال نشستی	-۸۰	-۷۸
حداکثر هدایت کانال سدیم	۲۰	۲۰
پتانسیل معکوس کانال سدیم	۶۰	۶۰
حداکثر هدایت کانال پتانسیم	۱۰	۱۰
پتانسیل معکوس کانال پتانسیم	-۹۰	-۹۰
پتانسیل نیمه ولتاژ فعال‌سازی کانال سدیم	-۲۰	-۲۰
شیب فعال‌سازی کانال سدیم	۱۵	۱۵
پتانسیل نیمه ولتاژ فعال‌سازی کانال پتانسیم	-۲۵	-۴۵
شیب فعال‌سازی کانال پتانسیم	۵	۵
زمان حساس به ولتاژ	۱	۱

۲. مدل تصادفی $I_{Na,p} + I_K$

همان‌طور که گفته شد از آنجا که مدل $I_{Na,p} + I_K$ دارای پارامترهای زیادی بوده و این امر موجب دشواری و ناکارآمدی تحلیل‌ها در عالم واقعیت می‌شود، لذا برای مطلوب‌تر بودن تحلیل‌ها از سیستم تصادفی متناظر با سیستم موردنظر استفاده خواهد شد.

مدل تصادفی $I_{Na,p} + I_K$ با اضافه کردن ضریبی از فرآیند وینر به سیستم (۱) به دست می‌آید و با استفاده از یک دستگاه معادلات دیفرانسیل تصادفی دو بعدی به صورت زیر نشان داده می‌شود:

$$(2) \quad \begin{cases} dV = \frac{1}{C} \left[I - g_L(V - E_L) - g_{Na}(V - E_{Na}) \left(\frac{\lambda}{1+e^{\frac{V_m-V}{k_m}}} \right) - g_K n(V - E_K) \right] dt \\ \quad + \sigma V dW_t, \\ dn = \frac{1}{\tau(V)} \left[\frac{\lambda}{1+e^{\frac{V_n-V}{k_n}}} - n \right] dt + \sigma n dW_t, \end{cases}$$

که در آن σ یک پارامتر است که به سیستم (۱) اضافه شده که نشان‌دهنده شدت نویز وارد شده به سیستم است و W_t یک فرآیند وینر است.

در ادامه به معرفی یک چهارچوب و قالب کلی برای تحلیل پویایی سیستم‌های دینامیکی تصادفی دو بعدی خواهیم پرداخت [۲].

۱.۲. تحلیل دینامیک سیستم تصادفی. ابتدا با در نظر گرفتن بسط تیلور توابع در نقطه‌ی $(0, 0)$ سیستم (۲) را بازنویسی می‌کنیم سپس با تبدیل مختصات قطبی $x = r \cos \theta$ و $y = r \sin \theta$ و پارامتردهی جدید داریم:

$$(3) \quad \begin{cases} dr = \left[(\mu_1 + \frac{1}{\lambda} \mu_2) r + \frac{1}{\lambda} \mu_3 r^3 \right] dt + \left(\frac{1}{\lambda} \mu_4 r^2 \right)^{\frac{1}{\lambda}} dW_t \\ d\theta = \left(\frac{1}{\lambda} \mu_5 + \frac{1}{\lambda} \mu_6 r^2 \right) dt + \left(\frac{1}{\lambda} \mu_2 \right)^{\frac{1}{\lambda}} dW_t \end{cases}$$

که در آن پارامترهای جدید به شرح زیر هستند:

$$\begin{aligned}
 \mu_1 &= -\frac{\frac{1}{2} \left(e^{\frac{V_m}{k_m}} \right)^r g_L k_m + g_L k_m + g_{Na} k_m}{C \left(1 + e^{\frac{V_m}{k_m}} \right)^r k_m} - \frac{1}{2\tau(V)} \\
 &\quad - \frac{\frac{1}{2} e^{\frac{V_m}{k_m}} g_{Na} k_m + 2e^{\frac{V_m}{k_m}} g_L k_m - g_{Na} E_{Na} e^{\frac{V_m}{k_m}}}{C \left(1 + e^{\frac{V_m}{k_m}} \right)^r k_m} \\
 \mu_2 &= 2\sigma^r \\
 (4) \quad \mu_3 &= \frac{\frac{1}{2} e^{\frac{V_m}{k_m}} g_{Na} \left(2k_m + E_{Na} - 2 \left(e^{\frac{V_m}{k_m}} \right)^r k_m + \left(e^{\frac{V_m}{k_m}} \right)^r E_{Na} - 4E_{Na} e^{\frac{V_m}{k_m}} \right)}{C \left(1 + e^{\frac{V_m}{k_m}} \right)^r k_m^r} \\
 \mu_4 &= 4\sigma^r \\
 \mu_5 &= -\frac{2g_K E_K}{C} + \frac{2e^{\frac{V_n}{k_n}}}{\left(1 + e^{\frac{V_n}{k_n}} \right)^r k_n \tau(V)} \\
 \mu_6 &= \frac{\frac{1}{2} \left(e^{\frac{V_n}{k_n}} \right)^r + e^{\frac{V_n}{k_n}} - 4 \left(e^{\frac{V_n}{k_n}} \right)^r}{\left(1 + e^{\frac{V_n}{k_n}} \right)^r k_n^r \tau(V)}
 \end{aligned}$$

حال با اعمال معادله فوکر-پلانک دو متغیره بر روی سیستم تصادفی (۴) داریم:

$$(5) \quad p(x, y) = \begin{cases} \delta(x^r + y^r), & \mu_4 \geq 16\mu_1 + \mu_2, \\ \frac{(x^r + y^r)^{\frac{16\mu_1 + \mu_2 - 4\mu_4}{4\mu_4}} \cdot \exp\left(\frac{\mu_3}{\mu_4}(x^r + y^r)\right)}{\pi \Gamma\left(\frac{16\mu_1 + \mu_2 - \mu_4}{4\mu_4}\right) \left(-\frac{\mu_2}{\mu_4}\right)^{\frac{16\mu_1 + \mu_2 - \mu_4}{4\mu_4}}}, & \mu_4 < 16\mu_1 + \mu_2. \end{cases}$$

با حل معادله فوکر-پلانک متناظر با معادله مدول از سیستم (۴) بر اساس روشی که در [۲] بیان شده است به تابع چگالی به فرم زیر دست پیدا می‌کنیم. در نتیجه تحلیل‌های خود را ببروی این تابع چگالی انجام می‌دهیم که در ادامه به آن خواهیم پرداخت.

$$(6) \quad p(r) = \begin{cases} \delta(r), & \mu_4 \geq 16\mu_1 + \mu_2, \\ r^{\frac{16\mu_1 + \mu_2 - 4\mu_4}{4\mu_4}} \cdot \exp\left(\frac{\mu_3}{\mu_4} r^r\right) & \Gamma\left(\frac{16\mu_1 + \mu_2 - \mu_4}{4\mu_4}\right) \left(-\frac{\mu_2}{\mu_4}\right)^{\frac{16\mu_1 + \mu_2 - \mu_4}{4\mu_4}}, & \mu_4 < 16\mu_1 + \mu_2. \end{cases}$$

پارامترهای (۶) اساس‌کار تجزیه و تحلیل پویایی سیستم‌های دینامیکی تصادفی می‌باشند. در ادامه به بیان چند قضیه در مورد تحلیل انشعاب‌های سیستم‌های دینامیکی تصادفی می‌پردازیم که همگی بر پایه‌ی پارامترهای (۶) استوار هستند.

۳. انشعاب‌های سیستم تصادفی

در نظریه‌ی انشعاب در سیستمهای تصادفی دو نوع انشعاب اصلی وجود دارد: انشعاب D و انشعاب P [۳]. وقتی که سیستم تصادفی در اطراف نقطه تکین از حالت پایدار به ناپایدار تغییر وضعیت دهد گوییم انشعاب دینامیک یا انشعاب

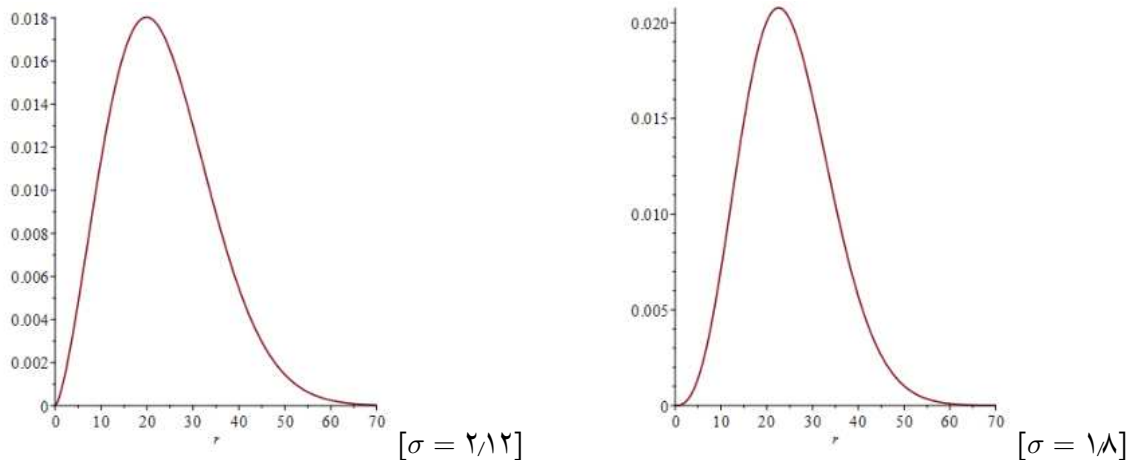
رخ داده است. انشعاب P به معنای تغییرات در شکل تابع چگالی احتمال است [۳]. در اینجا فرض می‌کنیم که $\mu_3 < \mu_4 < \mu_2$.

قضیه ۱۰.۳. برای سیستم تصادفی (۳) در $\mu_2 + \mu_4 = 16\mu_1$ انشعاب D رخ می‌دهد به عبارت دیگر مقدار پارامتر μ_4 از مقدار $\mu_2 + \mu_1$ بگذرد.

قضیه ۲۰.۳. برای سیستم تصادفی (۳) انشعاب P رخ می‌دهد هرگاه: مقدار پارامتر μ_4 از مقادیر $\frac{1}{2}\mu_2 + \mu_1, 8\mu_1$ و $\frac{16\mu_1 + \mu_2}{3}$ بگذرد.

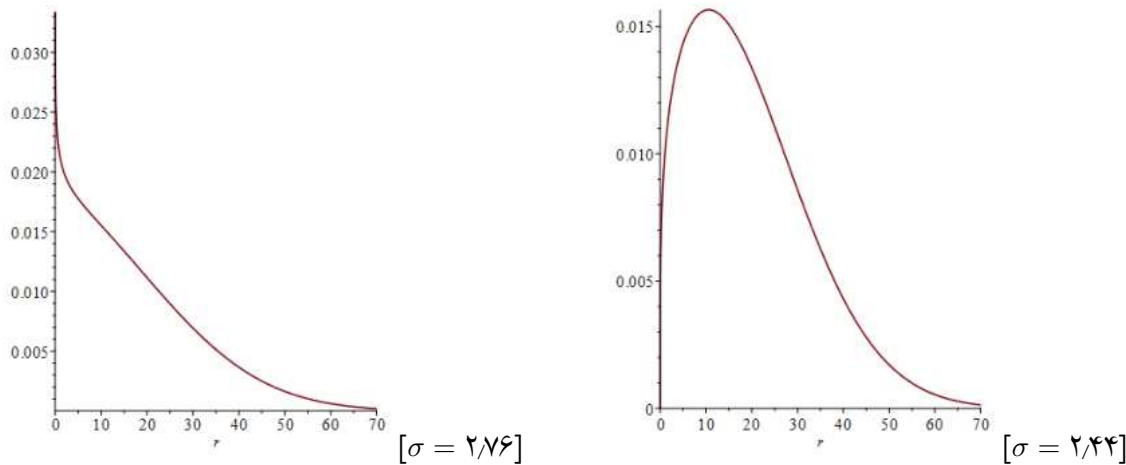
۴. نتایج عددی

در این بخش به بررسی و تحلیل رفتارهای انشعابی سیستم تصادفی (۲) بر اساس دستورکار معرفی شده در [۲] می‌پردازیم.



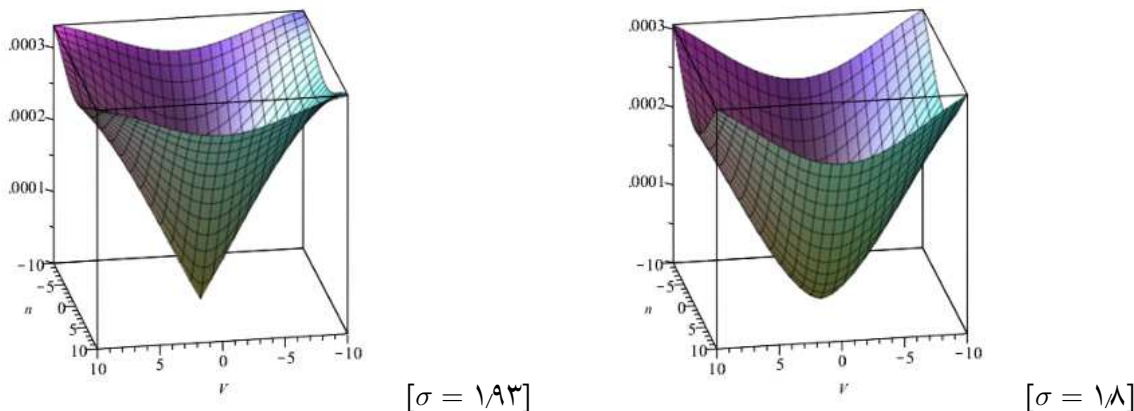
شکل ۱. چگالی احتمال (r) برای مقدار نویزهای قبل از اولین نقطه انشعاب یعنی $\lambda\mu_1 + \frac{1}{2}\mu_2 = \frac{16\mu_1 + \mu_2}{3} = 8642/19$ و $7964/29$

$$\sigma = 1200/2 \quad \mu_4 = 9776/17 \quad \frac{16\mu_1 + \mu_2}{3} = 7005/20 \quad \lambda\mu_1 + \frac{1}{2}\mu_2 = 0.508/31$$

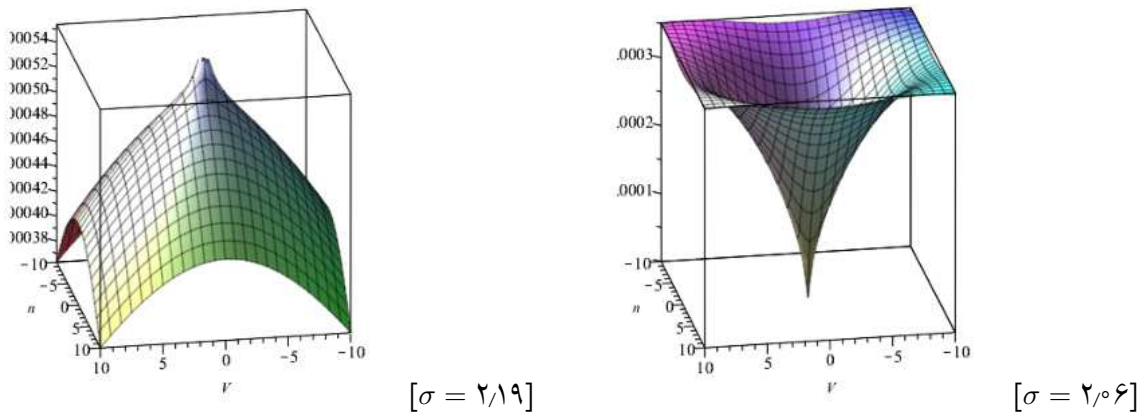


شکل ۲. چگالی احتمال $p(r)$ برای مقدار نویزهای بین دو نقطه ای انشعاب یعنی $\sigma = 76 \pm 24$, $\mu_4 = 47043^\circ$, $\frac{16\mu_1+\mu_2}{3} = 782622$, $8\mu_1 + \frac{1}{4}\mu_2 = 174034$,
 $\sigma = 80 \pm 3$ $\mu_4 = 945637$, $\frac{16\mu_1+\mu_2}{3} = 28524$, $8\mu_1 + \frac{1}{4}\mu_2 = 42836$,

مانند حالت یک بعدی با مقداردهی از جدول ۱ مربوط به نورونهای آستانه بالا به عبارت بدست آمده در تابع چگالی دو بعدی فوق و همچنین برای مقادیر مختلف σ به جدول زیر دست پیدا می‌کنیم. تحلیل را این‌گونه پیش خواهیم برد که مقادیری از σ را پیدا می‌کنیم که مقدار عبارت μ_4 از میان مقادیر عبارات $\frac{16\mu_1+\mu_2}{3}$ و $\frac{16\mu_1+\mu_2}{4}$ بگذرد. حاصل این نتایج را در نمودارهای بعدی مشاهده خواهیم کرد.



شکل ۳. چگالی احتمال توان $p(x, y)$ برای مقدار نویزهای قبل از اولین نقطه ای انشعاب یعنی $\sigma = 80 \pm 1$ $\mu_4 = 960012$, $\frac{16\mu_1+\mu_2}{3} = 898214$, $8\mu_1 + \frac{1}{4}\mu_2 = 864219$,
 $\sigma = 93001$ $\mu_4 = 899614$, $\frac{16\mu_1+\mu_2}{3} = 140615$, $8\mu_1 + \frac{1}{4}\mu_2 = 187520$,



شکل ۴. چگالی احتمال تؤام $p(x, y)$ برای مقدار نویزهای بین دو نقطه‌ی انشعاب یعنی $\lambda\mu_1 + \mu_2$

$$\sigma = 1900/2, \mu_2 = 1844/19, \frac{16\mu_1 + \mu_2}{3} = 6762/15, \frac{1}{\tau}\mu_2 = 9016/20,$$

$$\sigma = 3200/2, \mu_2 = 5296/21, \frac{16\mu_1 + \mu_2}{3} = 9694/15, \lambda\mu_1 + \frac{1}{\tau}\mu_2 = 2925/21,$$

مراجع

1. E. M. Izhikevich, *Dynamical systems in neuroscience*. MIT press; (2007).
2. C. Luo and S. Guo, *Stability and bifurcation of two-dimensional stochastic differential equations with multiplicative excitations*, Bulletin of the Malaysian Mathematical Sciences Society. 40(2) (2017), 795–817.
3. L. Arnold, Stochastic differential equations as dynamical systems. InRealization and Modelling in System Theory (1990).
4. P. E. Greenwood and M. L. Ward, *Stochastic neuron models*. Vol. 1. Springer, (2016).